

تعیین ثابت پایداری کمپلکس وانادیم (V) با لیزین.
دکتر فخر قریب ، دکتر کریم زارع ، دکتر سعید عابدینی خرمی ، مجله
علوم پایه دانشگاه الزهرا ، شماره ۴-۱ ، سال ۱۳۷۲ .

تعیین ثابت پایداری کپلکس وانادیم (V) با لیزین

فرخ قربی - کریم زارع

گروه شهید دانشگاه، شهید بهشتی

سعید عابدینی خوش

گروه شیمی، جهاد دانشگاهی صنعتی شیخ

چکمهده: مطالعات پتانسیل سنجی و طیف نور سنجی در ناحیه pH اثناشان می دهد که تشکیل کپلکس دی اکسی وانادیم (V) با لیزین در محیط اسیدی ($\text{pH} < 2,3$) به صورت ۱:۱ بوده و فرمول کپلکس در این محیط VO_2Y است که آنین آسپرتوکس برکسیلات کاملاً تتفکیک شده را نشان می دهد.

لگاریتم ثابت پایداری VO_2Y برابر $10^{15} \pm 0.39 \pm 0.10$ تعیین شده است. تغییر اندازه گیریها در دمای $1^{\circ}\text{C} \pm 0.25$ و قدرت پرسن پاک مول بر لیتر سدیم پرکلرات انجام گرفته است. همچنان ثابت پرتو ندار شدن لیزین به روش پتانسیل سنجی در شرایط پیش گفته تعیین شده است.

Abstracts:

The solution of dioxy vanadium(V) complex formed by lysine in acidic media ($\text{pH} < 2,3$) has been investigated potentiometrically and spectrophotometrically. In this condition the 1:1 complex has the formula VO_2Y , where Y represents the dissociated aminocarboxylate anion. The stability constant of VO_2Y was determined: $\log K_{\text{VO}_2\text{Y}} = 10.39 \pm 0.15$ at $25 \pm 0.1^{\circ}\text{C}$ and $I=1$ mole per liter of sodium perchlorate. The protonation constant of lysine was also determined potentiometrically in above condition.

مقدمه

تاکنون تحقیقات فراوانی در مورد کمپلکس دیبورکس وانادیم (V) با آمینوپلی کربوکسیلاتهای اتیلن دی آمین تراستیک اسید [۱-۴]، نیتریلوتری استیک اسید [۵]، NTA [۶]، N- متیل ایمینودی استیک اسید [۷]، ایمینودی استیک اسید [۸]، IDA [۹] اتیلن آمین دی استیک اسید [۱۰] و سیکلوهگزان MIDA [۱۱] دی آمین تراستیک اسید، CDTA [۱۲] به عمل آمده است. با اینکه ترکیبات اکسپیئن دار وانادیم (V) از کاتالیزورهای رایج صنعتی هستند و کمپلکسها این فلزات خاصیت پایداری جالبی نشان می دهند هنوز به طور نظامدار، خواص ترمودینامیکی و سنتزیکی آنها در محلولها مورد مطالعه قرار نگرفته است.

در این تحقیق اثنا شتابهای پایداری پلی آمینو کربوکسیلیک اسیدهای یاد شده تعیین و با مقادیر گزارش شده مقایسه می شود. علاوه بر آین، چون در مورد تشکیل کمپلکسها دیبورکس وانادیم (V) با آمین اسیدها تحقیقات اندکی صورت گرفته و اطلاعاتی درباره شتابهای پایداری آنها گزارش نشده است، واکنش تعادلی فلز- پلیکاند و تشکیل کمپلکس دیبورکس وانادیم، VO_2^+ ، با لیزین در 25°C و $\text{pH} 2.2 \pm 0.2$ و 26°C و قدرت یونی یک مرل بر لیزین پرکارات بروزی می شود. برای تعیین ثابت پایداری کمپلکس مورد نظر، اندازه گیری ثابت پرتونadar شدن لیزین در شرایط یاد شده، مورد نیاز بوده که به روش پتانسیل منجی انجام گرفته است.

تجزیه

مواد شیمیایی: سدیم متارانادات از شرکت R.S.H تهیه و غلظت محلولهای آن به روش تیتراسیون در مقابل محلول فرمولفات استاندارد 10×10^{-6} تعیین شده است.

پرکارک اسید از شرکت مرک (Merck) تهیه و غلظت محلولهای رقیق آن در مقابل محلول KHCO_3 استاندارد تعیین شده است [۱۳].

سدیم هیدرکسید از شرکت مرک تهیه و محلول رقیق آن پس از عبور از یک صافی شیشه‌ای مناسب در ظرف پلی اتیلن نگهداری شده است [۱۴].

D.L- لیزین از شرکت Aldrich- Chemie (Aldrich - Chemie) تهیه و به روش پتانسیل منجی غلظت آن تعیین شده است [۱۵].

سدیم پرکلرات از شرکت مرک تهیه و بدون خالص سازی مصرف شده است.

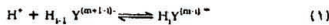
مواد پاد شده همگن درجه خلوص بالا داشته‌اند و در قام آزمایشها از آب دیوار تقطیر شده با رساندنگی الکتریکی^۳ (ohm) $\mu\Omega \pm 1/3$ استفاده شده است.

دستگاه‌ها: pH متر مورد استفاده از شرکت ایلا (EYELA، مدل 2000 pHM) است. غلظت بین هیدروژن (In Gold Uo 3236 (In Gold Uo 3234) و الکترود کالرمل (نوع اندازه‌گیری شده است. محلول $M = 10 \times 10^{-3}$ مول پرکلرید اسید که دارای ۹۹٪ سدیم پرکلرات است به عنوان محلول استاندارد بین هیدروژن به کار رفته است (۱۰۱ و ۱۰۲).

اندازه‌گیری‌های اسپکتروفوتومتری با دستگاه طیف نور سنجی UV-VIS Shimadzu 2100 (Shimadzu GDU-2OC) که مجهز به یک کامپیوتر (نوع Shimadzu TB 85) و یک حمام آب (نوع Shimadzu TB 85) با دقت $\pm 0.1^{\circ}\text{C}$ است برای اندازه‌گیری‌های طیف نور سنجی مورد استفاده قرار گرفته است. روش کار: ابتدا محلول‌های مورد مطالعه در محدوده pH مطلوب تهیه و به مدت ۲۴ ساعت برای رسیدن به حالت تعادل در دمای 25°C نگهداری می‌شوند. سپس هر محلول به طور جداگانه مورد مطالعه قرار می‌گرفت. محلول مورد نظر به وسیله یک پیپ مکنه (Sipper 260) و در یک دور پرخه پسنده از طرف واکنش که اکثردهای پتانسیل سنج در آن قرار داشت به سلول طیف نور سنج و از آنجا دیواره به طرف واکنش انتقال می‌یابد. بنابراین، جذب و pH محیط به طور همزمان در دمای ثابت قابل اندازه‌گیری بودند.

نتایج و بحث

تعیین ثابت پروتوندار شدن لیزین: قبل از مطالعه کمپلکس دی‌کسی‌وانادیم (V)-لیزین، باید ثابت پروتوندار شدن آمینو اسید در قدرت پونی برابر $M = 1$ و پایداری آن در محدوده pH مورد نظر تعیین شود. برای این کار، واکنش تعادلی زیر مورد مطالعه قرار گرفت.



که $Y^{(m)}$ نشان دهنده آئین آمینوکربوکسیلات کاملاً تغییق شده است (۱۰). به این ترتیب ثابت پروتوندار شدن به صورت زیر تعریف می‌شود:

$$K_H = \frac{[\text{H}_i\text{Y}^{(m-i)}]}{[\text{H}^+][\text{H}_{i+1}\text{Y}^{(m+1-i)}]}, \quad 1 < i < m + m' \quad (2)$$

که m تعداد عاملهای کربوکسیلیک و n تعداد عاملهای آمین لیگاند را نشان می‌دهد. برای لیزین $m=1$ و $n=2$ است.

ثابت پروتوندار شدن، K_{11} ، با روش پتانسیل‌سنجی و با استفاده از برنامه کامپیوتری HG به روش غیرخطی حداقل مربعات محاسبه شده است^(۱۲). لگاریتم ثابت پروتوندار شدن برای محاسبات بعدی مورد استفاده قرار گرفت که $\log K_{11}$ برابر با -0.7 ± 0.8 است.

تعیین ثابت پایداری کمپلکس (V) دیورگسی و اندامیم با لیزین دیورگسی و اندامیم (M) در محیط اسیدی $pH < 7/0$ به صورت یون VO_2^+ گزارش شده و در pH های بالاتر به شکلهای پلیمری وجود دارد^{(۱۶) و (۱۷)}. بنابراین، کمپلکس یاد شده در این محدوده pH مورد مطالعه قرار گرفته است. این یون در محیط اسیدی ضعیف پلیمری می‌شود و نایابدار است^(۱۷). ولی، در حضور مقدار زیاد لیگاند حتی در $pH > 7/0$ پلیمر شدن و هیدرولیز آن قابل چشمپوشی است^(۱۶). در محدوده pH مورد مطالعه، جذب و pH محلولهای اندازه‌گیری شده است که دارای دیورگسی و اندامیم M^{+4} با مقدار اضافی لیزین $M^{-2} \times 10^{-6}$ است. واکنش تعادلی زیر در محیط اسیدی مورد مطالعه قرار گرفته است:



که ثابت پایداری $VO_2 Y$ به صورت زیر تعریف می‌شود [A]:

$$K_{VO_2 Y} = \frac{[VO_2 H_{1-m-n} Y^{(m+n-1)-}] [H^+]^n}{[VO_2^+] [H_{1-m} Y^m]} \quad (4)$$

با توجه به ثابت پروتوندار شدن لیزین در محدوده pH مورد نظر، شکل غالب کمپلکس کننده HY است. در این صورت در روابط ۴ و ۵، m برابر صفر است و فقط یک گونه کمپلکس تشکیل می‌شود [A] .

با توجه به رابطه ۴ و روابط زیر [۱۸] و [۱۴]:

$$A = \epsilon_0 [VO_2^+] + \epsilon_1 [VO_2 Y] \quad (5)$$

$$[VO_2^+] = C_{VO_2} - [VO_2 Y] \quad (6)$$

$$[HY] = C_H Y - [VO_2 Y] \quad (7)$$

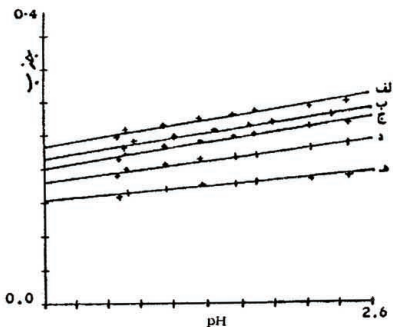
رابطه A به دست می‌آید.

$$\frac{C_{VO_2}}{A} = \frac{1}{\epsilon_1} + \frac{(\epsilon_1 - \epsilon_0)(A - \epsilon_0 C_{O_2})(H^+)^n}{A\epsilon_1 K^H V O_2 Y (\epsilon_1 C_{HY} - \epsilon_0 C_{HO} - A + \epsilon_0 C_{VO_2})} \quad (8)$$

که C_{HY} و C_{VO_2} به ترتیب غلظت کلی دیروگسی وانادیم (V) و لیزین بر حسب مول برلیتر، ϵ_1 و ϵ_0 به ترتیب ضرایب جذب مرلی دیروگسی وانادیم (V) و کپلکس $V O_2 Y$ و A جذب محلول است.
از آنجا که A تابع pH است (۱۹ و ۲۰)، مقادیر ϵ در جدول ۱ نشان داده شده است (شکل های ۱ و ۲).

جدول ۱_ مقادیر ضرایب جذب مرلی وانادیم (V) دیروگسی در طول موجهای مختلف

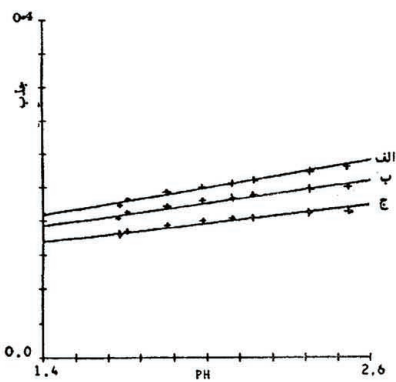
| λ | ϵ_0 | $\lambda_{(nm)}$ | ϵ_0 |
|-----------|--------------|------------------|--------------|
| ۷۴۸ | ۵/۶۶۳۱. | ۷۸۰ | ۲/۰۷۳۱. |
| ۷۸۰ | ۵/۵۵۳۱. | ۷۸۷ | ۴/۱۴۳۱. |
| ۷۸۶ | ۵/۶۳۳۱. | ۷۸۹ | ۴/۱۳۳۱. |
| ۷۹۰ | ۵/۱۳۳۱. | ۷۸۴ | ۴/۱۷۳۱. |



شکل (۱)- غایش تغییرات جذب بین دیروگسی وانادیم (V) با pH در طول موجهای:
(الف) ۷۴۸، (ب) ۷۸۰، (ج) ۷۸۶، (د) ۷۸۷، (هـ) ۷۸۹ نانومتر.

جدول ۲_ مقادیر ضریب جذب مولی VO_2Y

| $\lambda_{(\text{nm})}$ | ϵ_i | $\lambda_{(\text{nm})}$ | ϵ_i |
|-------------------------|------------------------|-------------------------|-----------------------|
| 710 | ۱۶/۴۳۵۳۱. ^T | ۷۳۰ | ۱۱/۷۴۳۱. ^T |
| ۷۵۰ | ۱۷/۸۸۳۱. ^T | ۷۷۰ | ۱۱/۰۷۳۱. ^T |
| ۷۹۰ | ۱۲/۱۲۳۱. ^T | ۸۱۰ | ۱۰/۱۷۳۱. ^T |
| ۸۳۰ | ۱۱/۹۴۳۱. ^T | ۸۵۰ | ۱۰/۱۰۳۱. ^T |



شکل (۲)-غایش تغییرات جذب بتن دیروکسی رانادیم (V) در طول سرچهای: (الف) ۲۵۵، (ب) ۲۶۵ و (ج) ۲۷۵ نانومتر

با رسم خ.برات $\frac{(A - \epsilon_0 C_{VO_2}) [H^+]}{A}$ بر حسب معلوم می شود. برای اینکه رابطه A به صورت خط مستقیم در آید لازم است $n = 1$ باشد. مقدار n از طریق عرض از مبدأ رابطه A تعیین شده است (شکل های ۲۱ و ۲۲).

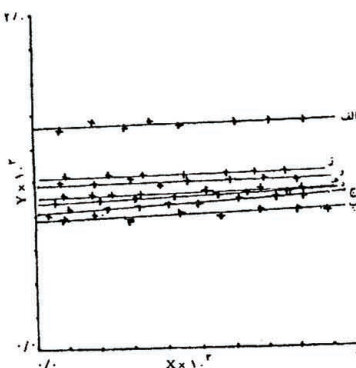
چنانچه $\bar{\epsilon} = \frac{[\text{VO}_2^+]}{[\text{VO}_2^+] + [\text{VO}_2\text{Y}]}$ (۱)

می توان با مرتب کردن رابطه A نسبت مولی لیگاند در کمبلکس \bar{n} را به صورت زیر تعیین کرد (۲۱ و ۲۲):

$$\bar{n} = \frac{\bar{\epsilon} - \epsilon_0}{\epsilon_1 - \epsilon_0}$$

با جایگذاری مقادیر عددی $\epsilon_0 = 40$, $\epsilon_1 = 10$, $\bar{\epsilon} = 0.96$ در رابطه ۱۰۰، مقدار عددی \bar{n} محاسبه می شود.

در این تحقیق مقدار \bar{n} برابر ۰.۹۶ است. محاسبه شد که نشان دهنده تشکیل کمبلکس دیروکسی وانادیم (VI) با لیزین با نسبت مولی ۱:۱ و در نتیجه $K_{\text{VO}_2\text{Y}}^{11}$ از طریق شبب رابطه A به دست می آید.

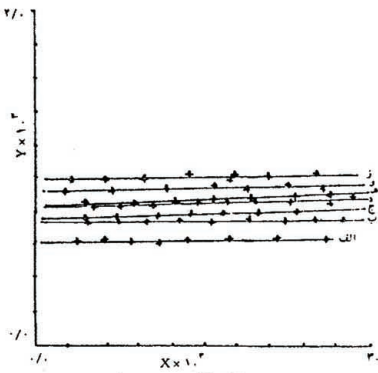


شکل ۲- تغییرات $\bar{\epsilon}$ در شرایط $\text{C}_{\text{HY}} = 1/\epsilon_0 \times 10^{-7} \text{ M}$ بر حسب $X = \frac{C_{\text{VO}_2}}{A}$

در طول موجه های: α=۲۱۵-۰، β=۲۱۰-۰، γ=۲۰۸-۰، δ=۲۰۴-۰، ε=۲۰۰-۰ نانومتر.

جدول ۳ - حذب محلولها برای pH ها در طول مرجحیات مختلف.

| λ/nm | ۲۴۰ | ۲۴۱ | ۲۴۲ | ۲۴۳ | ۲۴۴ | ۲۴۵ | ۲۴۶ | ۲۴۷ | ۲۴۸ | ۲۴۹ | ۲۵۰ |
|---------------------|--------|--------|--------|--------|--------|--------|--------|--------|--------|--------|--------|
| pH | A | | | | | | | | | | |
| ۷/۰۰ | -۰/۰۰۲ | -۰/۰۰۲ | -۰/۰۰۲ | -۰/۰۰۲ | -۰/۰۰۲ | -۰/۰۰۲ | -۰/۰۰۲ | -۰/۰۰۲ | -۰/۰۰۲ | -۰/۰۰۲ | -۰/۰۰۲ |
| ۷/۰۱ | -۰/۰۰۳ | -۰/۰۰۳ | -۰/۰۰۳ | -۰/۰۰۳ | -۰/۰۰۳ | -۰/۰۰۳ | -۰/۰۰۳ | -۰/۰۰۳ | -۰/۰۰۳ | -۰/۰۰۳ | -۰/۰۰۳ |
| ۷/۰۰۵ | -۰/۰۰۳ | -۰/۰۰۳ | -۰/۰۰۳ | -۰/۰۰۳ | -۰/۰۰۳ | -۰/۰۰۳ | -۰/۰۰۳ | -۰/۰۰۳ | -۰/۰۰۳ | -۰/۰۰۳ | -۰/۰۰۳ |
| ۷/۰۰۱ | -۰/۰۰۳ | -۰/۰۰۳ | -۰/۰۰۳ | -۰/۰۰۳ | -۰/۰۰۳ | -۰/۰۰۳ | -۰/۰۰۳ | -۰/۰۰۳ | -۰/۰۰۳ | -۰/۰۰۳ | -۰/۰۰۳ |
| ۷/۰۰۰ | -۰/۰۰۳ | -۰/۰۰۳ | -۰/۰۰۳ | -۰/۰۰۳ | -۰/۰۰۳ | -۰/۰۰۳ | -۰/۰۰۳ | -۰/۰۰۳ | -۰/۰۰۳ | -۰/۰۰۳ | -۰/۰۰۳ |
| ۷/۰۰۵ | -۰/۰۰۳ | -۰/۰۰۳ | -۰/۰۰۳ | -۰/۰۰۳ | -۰/۰۰۳ | -۰/۰۰۳ | -۰/۰۰۳ | -۰/۰۰۳ | -۰/۰۰۳ | -۰/۰۰۳ | -۰/۰۰۳ |
| ۷/۰۰۱ | -۰/۰۰۳ | -۰/۰۰۳ | -۰/۰۰۳ | -۰/۰۰۳ | -۰/۰۰۳ | -۰/۰۰۳ | -۰/۰۰۳ | -۰/۰۰۳ | -۰/۰۰۳ | -۰/۰۰۳ | -۰/۰۰۳ |
| ۷/۰۰۰ | -۰/۰۰۳ | -۰/۰۰۳ | -۰/۰۰۳ | -۰/۰۰۳ | -۰/۰۰۳ | -۰/۰۰۳ | -۰/۰۰۳ | -۰/۰۰۳ | -۰/۰۰۳ | -۰/۰۰۳ | -۰/۰۰۳ |
| ۷/۰۰۵ | -۰/۰۰۳ | -۰/۰۰۳ | -۰/۰۰۳ | -۰/۰۰۳ | -۰/۰۰۳ | -۰/۰۰۳ | -۰/۰۰۳ | -۰/۰۰۳ | -۰/۰۰۳ | -۰/۰۰۳ | -۰/۰۰۳ |
| ۷/۰۰۱ | -۰/۰۰۳ | -۰/۰۰۳ | -۰/۰۰۳ | -۰/۰۰۳ | -۰/۰۰۳ | -۰/۰۰۳ | -۰/۰۰۳ | -۰/۰۰۳ | -۰/۰۰۳ | -۰/۰۰۳ | -۰/۰۰۳ |
| ۷/۰۰۰ | -۰/۰۰۳ | -۰/۰۰۳ | -۰/۰۰۳ | -۰/۰۰۳ | -۰/۰۰۳ | -۰/۰۰۳ | -۰/۰۰۳ | -۰/۰۰۳ | -۰/۰۰۳ | -۰/۰۰۳ | -۰/۰۰۳ |



$$\text{شکل ۴ - نمایش تغییرات} \quad Y = \frac{(A - \epsilon_0 C_{\text{VO}_2}) [H^+]^n}{A} \quad \text{در شرایط} \quad X = \frac{C_{\text{VO}_2}}{A} \quad \text{بر حسب}$$

شکل ۴ - نمایش تغییرات $Y = \frac{(A - \epsilon_0 C_{\text{VO}_2}) [H^+]^n}{A}$ در شرایط $X = \frac{C_{\text{VO}_2}}{A}$ بر حسب $C_{\text{VO}_2} = ۱ \times ۱0^{-4} \text{ M}$ در طول مرجحیات: α-۲۴۵، β-۲۴۶، γ-۲۴۷، δ-۲۴۸ و ε-۲۴۹ نانومتر.

جدول ۶ - جذب محلولهای برای $M_{\text{C}_1\text{HY}} = 1 \times 10^{-4} \text{ M}$ در pH ها و طبل مرجهای مختلف.

| $\lambda(\text{nm})$ | ۲۶۰ | ۲۶۵ | ۲۷۰ | ۲۷۵ | ۲۸۰ | ۲۸۵ | ۲۹۰ | ۲۹۵ |
|----------------------|-------|-------|-------|-------|-------|-------|-------|-------|
| pH | A | | | | | | | |
| ۱/۱۳ | -/۱۰۶ | -/۱۴۳ | -/۱۲۳ | -/۱۲۲ | -/۱۱۵ | -/۱۱۳ | -/۱۰۸ | -/۱۰۳ |
| ۱/۱۱ | -/۱۱۳ | -/۱۴۴ | -/۱۲۴ | -/۱۲۲ | -/۱۱۸ | -/۱۱۴ | -/۱۰۹ | -/۱۰۴ |
| ۱/۱۰ | -/۱۱۷ | -/۱۲۸ | -/۱۲۷ | -/۱۱۹ | -/۱۱۸ | -/۱۱۲ | -/۱۰۷ | -/۱۰۳ |
| ۱/۰۹ | -/۱۱۹ | -/۱۲۷ | -/۱۲۳ | -/۱۱۹ | -/۱۱۴ | -/۱۱۲ | -/۱۰۷ | -/۱۰۴ |
| ۱/۰۸ | -/۱۱۵ | -/۱۲۶ | -/۱۲۶ | -/۱۱۷ | -/۱۱۶ | -/۱۱۲ | -/۱۰۷ | -/۱۰۴ |
| ۱/۰۷ | -/۱۱۳ | -/۱۲۶ | -/۱۲۶ | -/۱۱۷ | -/۱۱۶ | -/۱۱۲ | -/۱۰۷ | -/۱۰۴ |
| ۱/۰۶ | -/۱۱۳ | -/۱۲۶ | -/۱۲۶ | -/۱۱۸ | -/۱۱۳ | -/۱۱۳ | -/۱۰۸ | -/۱۰۴ |
| ۱/۰۵ | -/۱۱۳ | -/۱۲۶ | -/۱۲۶ | -/۱۱۸ | -/۱۱۳ | -/۱۱۳ | -/۱۰۸ | -/۱۰۴ |
| ۱/۰۴ | -/۱۱۳ | -/۱۲۶ | -/۱۲۶ | -/۱۱۸ | -/۱۱۳ | -/۱۱۳ | -/۱۰۸ | -/۱۰۴ |

مقادیر $K_{\text{VO}_2\text{Y}}^{\text{H}}$ از طریق شبیه خط رابطه A در های مختلف به دست آمده است. در نتیجه، میانگین

$$\log K_{\text{VO}_2\text{Y}}^{\text{H}} \text{ از جدول ۳ و } 4 \text{ برابر } 1/489 \pm 1/1 \text{ تعیین می شود.}$$

نتیجه گیری

لگاریتم ثابت پایداری VO_2Y و لگاریتم ثابت پروتوندار شدن لیزین به ترتیب برابر $1/1681 \pm 0/1$ و $1/0 \pm 0/0$ تعیین شد. ثابت پایداری VO_2Y با تلفیق این دو ثابت به صورت زیر به دست می آید.

$$K_{\text{VO}_2\text{Y}} = \frac{[\text{VO}_2\text{Y}]}{[\text{VO}_2^+][\text{Y}^-]} = K_{\text{VO}_2\text{Y}}^{\text{H}} K_{\text{H}} \quad (11)$$

با توجه به رابطه (11)

$$\log K_{\text{VO}_2\text{Y}} = -0/79 \pm 0/16$$

تعیین می شود که $K_{\text{VO}_2\text{Y}}^{\text{H}}$ در غلظتهاي مختلف لیگاند و طبل مرجهاي مختلف، همانطور که ملاحظه شد، بسیار نزدیك هم به دست می آيد. خطای به صورت زیر برابر $1/16$ درصد است.

همچنین لگاریتم ثابتهاي پایداری کمپلکسهاي ۱:۱ بین دیروکسی واتادیم (V)، (A) CDTA و (EDTA)، (vINTA) $1/0$ در محیطهاي با قدرت پرسنی ثابت به روش طیف نورستنجی در 25°C تعیین شده و به ترتیب به دست آمده اند که با مقادیر گزارش شده قابل مقایسه اند: $1/0 \pm 0/0$ ، $1/0 \pm 0/0$ ، $1/0 \pm 0/0$ و $1/0 \pm 0/0$. از آنجاکه لیزین بد لیگاند سه دندانه است حدس زده می شد که ثابت پایداری این آمینو اسید از EDDA.

EDTA و NTA و CD³⁺A که به ترتیب چهار دندانه، شش دندانه، چهار دندانه و شش دندانه اند کمتر باشد که نتیجه به نتایج تجربی می دست آنده این حدم به بقیه تبدیل شد.

REFERENCES

- 1) گریم زارع، نشریه شیمی و مهندسی شیمی ایران ، شماره ۷ ، مهر ۱۳۶۵ صفحه ۷۹ تا ۸۲
- 2) J. Lagrange and P. Lagrange, Bull. Soc. Chim .Fr. , 19 (1972).
- 3) K.Kustin and D.L. Toppen , J . Am Chem .Soc ., 95,3564 (1973).
- 4) S . Yamada , Y . Ukei, and M. Tanaka,Inorg.Chem.,15,964(1976).
- 5) J. Lagrange and P. Lagrange,Bull.Soc.Chim. Fr.,1460(1975).
- 6) K.Zare,J. Lagrange, and P.Lagrange, Inorg. Chem., 18,568(1979).
- 7) S.Yamada, J.Nagase,S.Funahashi, and M.Tanaka, J.Inorg.Nuel.Chem.,38,617 (1976)
- 8) J.I.Itoh,T.Yotsuyangi, and K.Aomura ,Ane.Chim. Acta,76,471(1975).
- 9) G. Charlot, Les Methods de la Chimie Analye Quantitative,4th.Ed.Masson, Paris, (1961)
- 10) Merck Standards, pp.817-819.
- 11) J.Lagrange,K.Aka, and p.Lagrange,J.Chem.Soc.Dalton,pp.239(1984).
- 12) M.A.Ghaharbor, Experimental Biochemistry ,Volume 1 , pp. 141-145.
- 13) A.E.Martel and R.J.Motekaitis,The Determination and Use of Stability Constants, Texas A and M Uni. , pp. 2-19(1988)
- 14) J . Polster , H. Lachmann , Spectrometric Titration,Cambridge:New York: NY., pp. 24-251(1989).
- 15) K. Zare ,p. Lagrange, and J. Lagrange,J. Chem. Soc. Dalton,1372(1979).
- 16) F.A.Cotton and G.Wilkinson, Advanced Inorganic Chemistry, 3th.ed.,pp.821-824 (1972).
- 17) F.J.C.Rosotti, and H.Rosotti , Acta Chem.Scand. 10,957(1956).
- 18) F.J. Rosotti ,and H.Rosotti, The Determination of Stability Constants, (1961).
- 19) B.P. Karadakov , and P. I. Venkova, Talanta , 17,878 (1970).
- 20) M.T. Beck and I.Nagypal , Chemistry of Complex Equilibria, pp.134-136(1990).
- 21) H. Rosotti, Chemical Applications of Potentiometry, pp.170-176